

# 在 LEP II 及 NLC 能量下 $e^+e^- \rightarrow b\bar{b}Z^0$ 和 $t\bar{t}Z^0$ 过程中 Higgs 粒子的观测效应 \*

丁亦兵<sup>1</sup> 李学潜<sup>2</sup> 王建雄<sup>3</sup> 张肇西<sup>4</sup> 谢跃红<sup>3</sup>

1 (中国科学院研究生院物理部 北京 100039)

2 (南开大学物理系 天津 300071)

3 (中国科学院高能物理研究所 北京 100039)

4 (中国科学院理论物理研究所 北京 100080)

1996-02-29 收稿

## 摘要

根据最小标准模型及双 Higgs 二重态的扩展标准模型理论, 计算了 LEP II 以及 NLC 能量下  $e^+e^- \rightarrow b\bar{b}Z^0$  和  $t\bar{t}Z^0$  的总截面和微分截面以探求 Higgs 粒子的观测效应。我们发现, 只要 Higgs 粒子的质量  $M_H < 140\text{GeV}$ , 对  $e^+e^- \rightarrow b\bar{b}Z^0$  的测量就能清楚地提供 Higgs 粒子的信息。然而对  $e^+e^- \rightarrow t\bar{t}Z^0$ , 不论 Higgs 粒子是轻或重, 它的效应都被淹没在弱电过程的本底中, 没有观测的可能。

**关键词** 最小标准模型, 扩展标准模型, 双 Higgs 二重态, Higgs 粒子质量, 弱电过程, 总截面和微分截面。

## 1 引言

t 夸克的发现<sup>[1]</sup>使最小标准模型(MSM)的三代轻子-夸克结构得到了实验的最终证实, 寻找该理论框架内至今唯一缺席的重要成员-Higgs 粒子自然地成为了理论家和实验家最为关注的研究课题。人们在实验所及的能量范围内进行了多年的广泛而细致地搜寻, 不幸的是, 迄今成效甚微, 没有得到关于这个粒子任何明确的、直接的结论。于是, 一方面在更高的能量下的各种反应探讨 Higgs 粒子的可能迹象引起了人们越来越浓厚的兴趣。另一方面, 各种超出标准模型的可能性, 特别是包含有双 Higgs 二重态的最小扩充标准模型(2HDM)及最小超对称模型(MSSM)受到了更为广泛的注意<sup>[2]</sup>。

按照 MSM,  $e^+e^- \rightarrow Z^0H^0$  是观测 Higgs 粒子的理想反应。由于  $e^+e^-$  对撞机具有比强子对撞机低得多的背景, 探测环境十分有利。人们相信, 如果标准模型中的自发对称性破缺 Higgs 机制是正确的, 即 Higgs 粒子是存在的, 那么在 LEP II 和 NLC 能量下所谓的 Golden-Plate 反应  $e^+e^- \rightarrow H^0Z^0 \rightarrow f\bar{f}Z^0$  的测量应能给出关于 Higgs 粒子的重要信息。

\* 国家自然科学基金部分资助。

在 LEP II 和 NLC 上,  $e^+e^- \rightarrow b\bar{b}Z^0$  是一定能测量到的。按照 MSM, 这个反应的最低级费曼图(树图)如图 1 的(a)、(b)和(c)所示共有九个图, 其中(a)和(b)的八个图没有任何自由参量, 它们给出确定大小的背景贡献(以下称背景图)。在 MSM 理论框架下只有图 1(c)通过中间态  $H^0$  到  $b\bar{b}$  给出人们关心的 Higgs 粒子的信息(按照 Boos 等人的约定<sup>[3]</sup>, 我们称之为信号)。Boos 等人的工作证明: (1) 根据 MSM, 在  $\sqrt{s} < M_Z + M_H$  时, Higgs 粒子的贡献(图 1(c)), 与背景相比很小, 可以忽略, 即一个虚的 Higgs 粒子 ( $q^2 < M_H^2$ ) 不能给出较大的贡献; (2) 当  $\sqrt{s} > M_Z + M_H$  时, 总截面有一个剧增。在  $\sqrt{s}$  较大时信号与背景之比接近于 1; (3) 不论  $\sqrt{s}$  为何值, 背景与信号的干涉都很小, 可以略去; (4) 当  $M_H < 2M_W$  时, 在以末态  $b\bar{b}$  系统的不变质量  $s_2 = (p_b + p_{\bar{b}})^2$  为变量的微分截面  $d\sigma/ds_2$  图中,  $s_2 = M_H^2$  处可以看到一个很窄很高的峰。

按照 Boos 等人的分析, 对 MSM 而言, 只要 Higgs 粒子质量  $M_H$  给定, 计算中不存在任何自由参数。那么通过对  $e^+e^- \rightarrow b\bar{b}Z^0$  微分截面  $d\sigma/ds_2$  及总截面  $\sigma$  的测量值与计算值的比较, 应该能对 Higgs 粒子是否存在以及它的质量值给出明确的结论。

然而如果扩展的标准模型是正确的话, 情况就不那么简单了。例如, 在 2HDM 中, 对  $e^+e^- \rightarrow b\bar{b}Z^0$  有贡献的树图除了图 1(a)、(b)和(c)的九个图之外, 还有另一个中性的 Higgs 粒子  $h^0$  也有贡献, 如图 1(d) 所示。它的顶点与  $HZZ$  相似。由于  $H^0$  和  $h^0$  有可能发生混合, 所以更增加了结果的复杂性。

本文将就 MSM 和 2HDM 中 Higgs 粒子在  $e^+e^- \rightarrow b\bar{b}Z^0$  以及  $t\bar{t}Z^0$  过程中可能的观测效应进行一些细致的研究。计算了它们的截面  $\sigma$  和微分截面  $d\sigma/ds_2$ , 并考虑了  $b \rightarrow s\gamma$  测量结果对 2HDM 中参数的限制。为了本文的自容性, 在第二节对 2HDM 做了一个简介。第三节给出了一些与截面和微分截面计算有关的表达式。第四节和第五节分别就  $e^+e^- \rightarrow b\bar{b}Z^0$  和  $t\bar{t}Z^0$  的数值结果给出了一些初步的分析。最后一节给出了结论和一些简要的讨论。

## 2 2HDM 简介

(i) 关于 2HDM 的详细介绍可以在 Gunion 等人的工作中找到<sup>[2]</sup>。对应于夸克、轻子从两个 Higgs 二重态取得质量的不同方式, 2HDM 有两种不同的模型, 分别称为模型 I 和模型 II。在该理论中最关键的参数为

$$\tan\beta = \frac{v_2}{v_1}, \quad (1)$$

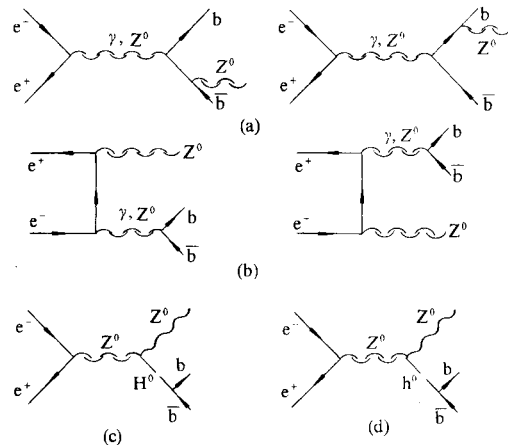


图 1  $e^+e^- \rightarrow b\bar{b}Z^0$  过程的费曼图

其中的(c)和(d)与  $H^0$  与  $h^0$  有关。

其中  $v_1, v_2$  分别是两个 Higgs 二重态的真空期待值.

在模型 I 中, 拉格朗日函数(Lagradian)可以写成:

$$\begin{aligned} L_{\text{eff}} = & -\frac{g}{2M_w \sin\beta} \bar{D}M_D D(H^0 \sin\alpha + h^0 \cos\alpha) - \frac{ig \cot\beta}{2M_w} \bar{D}M_D \gamma_5 D A^0 \\ & - \frac{g}{2M_w \sin\beta} \bar{U}M_U U(H^0 \sin\alpha + h^0 \cos\alpha) + \frac{ig \cot\beta}{2M_w} \bar{U}M_U \gamma_5 U A^0 \\ & + \frac{g \cos\beta}{2\sqrt{2} M_w} (H^+ \bar{U}[M_U K(1 - \gamma_5) - K M_D(1 + \gamma_5)]D + \text{h.c.}) \end{aligned} \quad (2)$$

在模型 II 中,

$$\begin{aligned} L_{\text{eff}} = & -\frac{g}{2M_w \cos\beta} \bar{D}M_D D(H^0 \cos\alpha - h^0 \sin\alpha) + \frac{ig \tan\beta}{2M_w} \bar{D}M_D \gamma_5 D A^0 \\ & - \frac{g}{2M_w \sin\beta} \bar{U}M_U U(H^0 \sin\alpha + h^0 \cos\alpha) + \frac{ig \cot\beta}{2M_w} \bar{U}M_U \gamma_5 U A^0 \\ & + \frac{g}{2\sqrt{2} M_w} (H^+ \bar{U}\cot\beta[M_U K(1 - \gamma_5) + \tan\beta K M_D(1 + \gamma_5)]D + \text{h.c.}) \end{aligned} \quad (3)$$

其中  $K$  是 Cabibbo – Kabayashi – Maskawa 矩阵,  $M_U$  和  $M_D$  分别是 u 型和 d 型夸克的质量矩阵,  $\alpha$  是  $H^0$  和  $h^0$  的混合角度, 即

$$H^0 = \sqrt{2} [(\text{Re}\varphi_1^0 - v_1) \cos\alpha + (\text{Re}\varphi_2^0 - v_2) \sin\alpha], \quad (4)$$

$$h^0 = \sqrt{2} [-(\text{Re}\varphi_1^0 - v_1) \sin\alpha + (\text{Re}\varphi_2^0 - v_2) \cos\alpha]. \quad (5)$$

(ii)  $e^+e^- \rightarrow b\bar{b}Z^0$  及  $t\bar{t}Z^0$  的总截面和微分截面.

在 MSM 框架内, 最低级的费曼图<sup>[3]</sup>共有九个(图 1(a)、(b) 和 (c)), 然而对 2HDM, 由于  $h^0$  的存在, 增加了一个图(图 1(d)). 这十个图的贡献加起来求总截面的计算很繁但很直接.

主要感兴趣的是与 Higgs 粒子有关的信号贡献. 写成 Breit – Wigner 形式的  $H^0$  和  $h^0$  的传播子为:

$$\Delta(p^2) = \frac{i}{p^2 - M_H^2 + i\Gamma_H M_H}, \quad (6)$$

其中  $\Gamma_H$  和  $M_H$  是  $H^0$  或  $h^0$  的宽度和质量. 在树图水平,

$$\begin{aligned} T_\varphi = & \frac{G_F}{4\sqrt{2} \pi} \left\{ M_\varphi [3A(\beta_c^3 m_c^2 + \beta_t^3 M_t^2 \theta(M_\varphi - 2M_t)) + B(3\beta_b^3 m_b^2 + \beta_i^3 m_i^2)] \right. \\ & + 2 \frac{M_w^4}{M_\varphi} \beta_w \left( 3 - \frac{M_\varphi^2}{M_w^2} + \frac{M_\varphi^4}{4M_w^4} \right) C \cdot \theta(M_\varphi - 2M_w) \\ & \left. + \frac{M_w^4}{M_\varphi} \beta_z \left( 3 - \frac{M_\varphi^2}{M_z^2} + \frac{M_\varphi^4}{4M_z^4} \right) D \cdot \theta(M_\varphi - 2M_z) \right\}, \end{aligned} \quad (7)$$

其中  $\theta$  为阶跃函数, 而

$$\beta_i^2 = 1 - \frac{4M_i^2}{M_\varphi^2}, \quad (8)$$

$$\beta_{WZ}^2 = 1 - \frac{4M_{WZ}^2}{M_\varphi^2}, \quad (9)$$

$\varphi$  可以是  $H^0$  或  $h^0$ . 在模型 I 中, 对  $H^0$  有  $A = \left(\frac{\sin\alpha}{\sin\beta}\right)^2$ ,  $B = \left(\frac{\sin\alpha}{\sin\beta}\right)^2$ ,  $C = \cos^2(\beta - \alpha)$ ,  $D = \frac{1}{\cos^4\theta_W} \cos(\beta - \alpha)$ , 而对  $h^0$  有  $A = \left(\frac{\cos\alpha}{\sin\beta}\right)^2$ ,  $B = \left(\frac{\cos\alpha}{\sin\beta}\right)^2$ ,  $C = \sin^2(\beta - \alpha)$ ,  $D = \frac{1}{\cos^4\theta_W} \sin^2(\beta - \alpha)$ . 在模型 II 中,  $C$  和  $D$  是和模型 I 一样的, 但对  $H^0$  有  $A = \left(\frac{\sin\alpha}{\sin\beta}\right)^2$ ,  $B = \left(\frac{\cos\alpha}{\cos\beta}\right)^2$ , 对  $h^0$  有  $A = \left(\frac{\cos\alpha}{\sin\beta}\right)^2$ ,  $B = \left(\frac{\sin\alpha}{\cos\beta}\right)^2$ .

对观测结果进行分析时用到的另一重要的量是以  $b\bar{b}$  系统的不变质量  $s_2 = (p_b + p_{\bar{b}})^2$  为变量的微分截面  $d\sigma/ds_2$ , 它之所以重要, 其原因很简单. 在三体末态过程中, 相空间体积元积分可能淹没掉许多关于 Higgs 粒子信号的信息. 如果  $b$  和  $\bar{b}$  来源于  $b\bar{b}H^0$  或  $b\bar{b}h^0$  顶点, 当  $b\bar{b}$  系统不变质量等于  $M_H$  或  $M_h$  时, 微分截面谱上会出现一个峰. (对  $t\bar{t}$  情形, 希望有类似情况, 但事实上却没有如此乐观, 请见下文讨论.) 正如 Boos 等人指出的[3], 此时 Higgs 粒子信号对背景之比会变得很大, 成为这个过程的一个重要的特征.

为了后面讨论方便, 在这里只给出与  $H^0$  和  $h^0$  有关的  $\frac{d\sigma}{ds_2}$  的具体表达式,

$$\begin{aligned} \frac{d\sigma}{ds_2} = & \frac{3}{128\pi^3 s^2} \left( \frac{g^3 M_b}{8C_W^3} \right)^2 (1 + (1 - 4S_W^2)^2) \frac{1}{s_2} \lambda^{1/2}(s_2, M_b^2, M_b^2) \lambda^{1/2}(s, M_Z^2, s_2) \\ & \cdot \left\{ s + \frac{1}{4M_Z^2} \left[ (s + M_Z^2 - s_2)^2 - \frac{1}{3} \lambda(s, M_Z^2, s_2) \right] \right\} \cdot \left( \frac{s_2}{2} - 2M_b^2 \right) \\ & \cdot \frac{1}{(s - M_Z^2)^2 + \Gamma_Z^2 M_Z^2} \cdot \left[ \frac{1}{(s_2 - M_H^2) + i\Gamma_H M_H} \cos(\beta - \alpha) c_1 \right. \\ & \left. + \frac{1}{(s_2 - M_{h^0}^2) + i\Gamma_{h^0} M_{h^0}} \sin(\beta - \alpha) c_2 \right]^2, \end{aligned} \quad (10)$$

其中

$$\lambda(a, b, c) \equiv a^2 + b^2 + c^2 - 2ab - 2bc - 2ca,$$

$S_W \equiv \sin\theta_W$ ,  $C_W \equiv \cos\theta_W$ ,  $\theta_W$  是 Weinberg 角. 对模型 I,  $c_1 = \sin\alpha/\sin\beta$ ,  $c_2 = \cos\alpha/\sin\beta$ ; 对模型 II,  $c_1 = -\cos\alpha/\cos\beta$ ,  $c_2 = \sin\alpha/\cos\beta$ .  $s = (p + p')^2$ ,  $p$  和  $p'$  分别是电子和正电子的动量. 为讨论  $t\bar{t}Z^0$  情况, 仅须将对  $b$  的量换成对  $t$  的相应的量即可, 就不再给出表达式了.

包括全部十个费曼图的总截面和微分截面, 必须用计算机进行数值运算, 其结果将在下面几节中给出.

### 3 对 $e^+e^- \rightarrow b\bar{b}Z^0$ 截面的分析

如上所述, 如果 MSM 是正确的理论, 那么对  $e^+e^- \rightarrow b\bar{b}Z^0$  的精确测量可以确定

Higgs 粒子质量或给出它的下限，然而如果有两个 Higgs 二重态存在，整个情况就变得比较复杂了。

首先，由于  $M_{H^0}$ ,  $M_{h^0}$ ,  $\alpha$  和  $\beta$  均为未知，所以即使在树图水平上也不可能精确预言总截面及微分截面。因而在计算中对这些参数取了某些特殊值以阐明物理图象。由于 LEP II 实验数据及  $b \rightarrow s\gamma$  衰变测量值对参数的约束，很轻的  $h^0$  及较小的  $\tan\beta$  值已被排除了。

其次，如果第二个 Higgs 粒子  $h^0$  的存在，总截面和微分截面数值将不同于 MSM 预言值。但我们的结果表明总截面的变化不太明显，较难在测量中区分，而真正物理上有兴趣的观察量是微分截面  $d\sigma/ds_2$ 。在  $d\sigma/ds_2$  对  $s_2$  的曲线图上，只要  $M_{H^0(h^0)}$  小于  $\sqrt{s} - M_Z$ ，就会有尖峰突起。可能有两个尖峰，它们分别对应  $H^0$  和  $h^0$ ；或者只有一个尖峰，它对应于  $H^0$  或  $h^0$ 。如果没有尖峰，则意味着  $H^0$  和  $h^0$  都重于  $\sqrt{s} - M_Z$  而越出了观察范围。

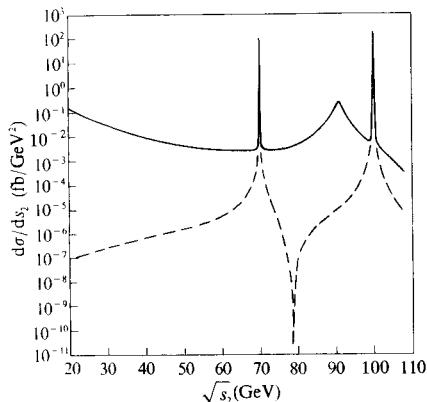


图 2  $e^+e^- \rightarrow b\bar{b}Z^0$  过程的微分截面  $\frac{d\sigma}{ds_2}$  随  $\sqrt{s_2}$  变化的曲线

以模型 II 为例，取  $\alpha=\pi/4$ ,  $\tan\beta=0.25$ ,  $M_{H^0}=100\text{GeV}$ ,  $M_{h^0}=70\text{GeV}$ 。虚线为 Higgs 粒子信号图的贡献，实线为十个图的总贡献。

从图上看，图 2 相应于  $M_{H^0}=100\text{GeV}$ ,  $M_{h^0}=70\text{GeV}$  及  $\beta=0.50$ ，(模型 II)。这时可以清楚地看到两个尖峰，分别在  $\sqrt{s_2}=70\text{GeV}$  和  $100\text{GeV}$  位置上，它们明显高于背景，而且都很窄。上面的曲线对应所有十个图的贡献，下面一条曲线对应  $H^0$  和  $h^0$  信号图的贡献(图 1(c)和(d))，峰的宽度及高度决定于参数，同时在  $\sqrt{s_2}=M_Z$  处还可以看到一个很宽的峰，它来自于  $Z^0$  的贡献。对模型 I，有类似结果。

如果只有一个尖峰，那么人们感兴趣的是它是否对应 MSM 的 Higgs 粒子。例如在 2HDM 中，一般认为  $h^0$  轻于  $H^0$ ，因而那时这个峰只可能对应于  $h^0$ ，而不可能是与 MSM 的 Higgs 粒子相应的  $H^0$ 。

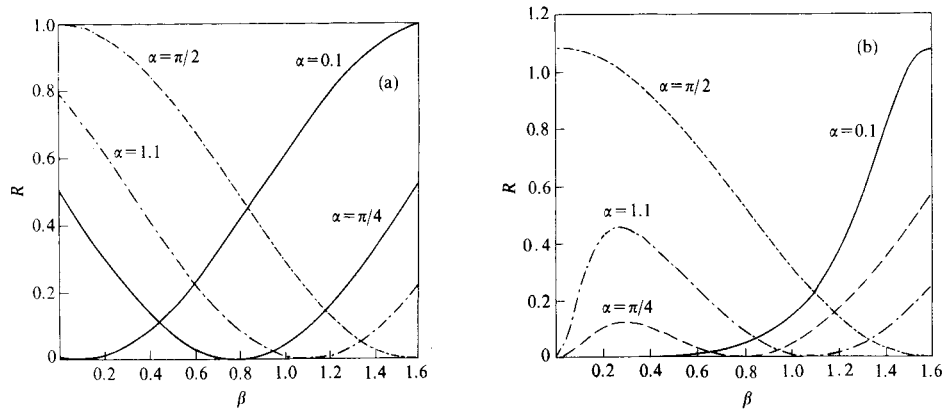
我们发现，在只有一个尖峰的情况下，MSM 和 2HDM 关于这个峰的宽度和高度的预言值有很大不同。为了能够清楚地区分 MSM 和 2HDM 这两种模型，可以定义一个比值  $R$ :

$$R = \frac{\Delta N^{2\text{HDM}}|_{h^0}}{\Delta N^{\text{MSM}}|_{H^0}}, \quad (11)$$

其中  $\Delta N = \frac{d\sigma}{ds_2} \Gamma$ ，它近似地代表尖峰的面积。考虑到测量  $b$  和  $\bar{b}$  的实验精度是有限的，因此  $\Delta N$  粗略地等于在峰附近由宽度所限定的小范围内测得的事例数。由公式(10)和(11)，近似可得

$$R \sim \sin^2(\beta - \alpha) \quad (\text{模型 I}); \quad (12)$$

$$R \sim \sin^2(\beta - \alpha) \frac{1}{0.08 \cot^2 \alpha \cot^2 \beta + 0.92} \quad (\text{模型 II}). \quad (13)$$

图 3  $R$  随  $\alpha$  和  $\beta$  的变化关系.

(a) 为模型 I, (b) 为模型 II.

比值  $R$  随  $\beta$  及  $\alpha$  的变化关系如图 3 所示. 对模型 I, 在合理的  $\beta$  范围内(例如, 由  $b \rightarrow s\gamma$  数据所限制的  $\beta > 0.21^{[4-6]}$ ), 得到  $R < 1$ , 即 2HDM 决定的峰内所包围的面积永远小于 MSM 的预言值. 而对模型 II,  $R$  有可能大于 1. 但在较合理的范围  $0.21 < \beta < \pi/2$ , 以及  $\alpha$  不太大时(即两个 Higgs 粒子没有很大的混合),  $R$  仍保持小于 1. 所以  $R$  在某种程度上可以用来标志这两种模型的区别. 这就是说, 如果用测量得到的事例数估算出的  $R$  比 1 小很多, 可以判断微分截面上的单峰应该对应于 2HDM 中的  $h^0$ .

#### 4 对 $e^+e^- \rightarrow t\bar{t}Z^0$ 的分析

由于  $t\bar{t}H^0$  的耦合正比于  $M_t/M_w$ , 而  $M_t$  比  $M_w$  大一倍以上, 似乎可以想象  $e^+e^- \rightarrow t\bar{t}Z^0$  可能对寻找 Higgs 粒子更为有利. 然而发现实际情况恰恰相反. 这一点也不难理解, 因为从  $e^+e^- \rightarrow b\bar{b}Z^0$  的计算结果可以看到, 只有在质量壳上的 Higgs 粒子才能给出较大的贡献, 如果能量太低或 Higgs 粒子很重, 与 Higgs 粒子有关的费曼图均无较大贡献, 信号完全淹没在背景中. 这就是说对  $e^+e^- \rightarrow t\bar{t}Z^0$  过程, 只有当  $M_H > 2M_t$  时信号图才能有比较大的贡献. 但是这个贡献的大小还正比于  $1/\Gamma_H$ . 当 Higgs 粒子的质量达到  $2M_t$  时, 开放的道很多, 如  $H^0 \rightarrow W^+W^-$ ,  $Z^0Z^0$  及  $t\bar{t}$  等, 这使  $\Gamma_H$  很大, 比  $M_H < 2M_w$  时大 3 个数量级, 因而  $1/\Gamma_H$  会带来很大的压低. 它抵消甚至远远压倒了由耦合常数的增加所带来的截面的上升.

在 MSM 及 2HDM 模型下, 认真计算了  $e^+e^- \rightarrow t\bar{t}Z^0$  的总截面及微分截面, 其数值结果如图 4 及图 5 所示. 选用了  $\sqrt{s} = 500\text{GeV}$  及  $1000\text{GeV}$  的 NLC 能量, 在计算中取  $M_h = 80\text{GeV}$ ,  $M_H = 380\text{GeV}$ , 可以看到在下面的由 Higgs 粒子贡献的信号曲线上,  $\sqrt{s_2} = 380\text{GeV}$  处有一个峰, 但它很低也较宽, 最高的地方还不足背景贡献的三分之一. 实际上和  $e^+e^- \rightarrow b\bar{b}Z^0$  一样, 干涉项仍然不重要. 即使把所有贡献都考虑进去, 最终谱的形状仍不会改变多少, 峰的结构在可能的实验精度下是不可能看到的.

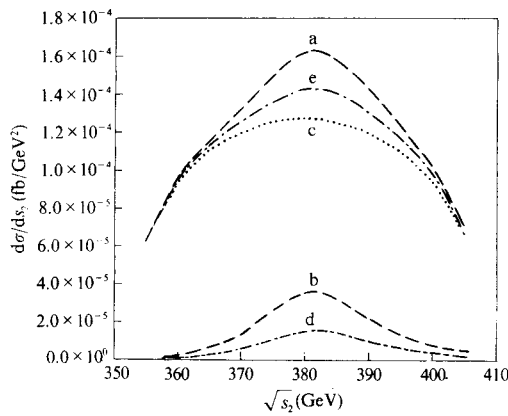


图 4  $e^+e^- \rightarrow t\bar{t}Z^0$  过程的微分截面  $\frac{d\sigma}{ds_2}$  随  $\sqrt{s_2}$  变化的曲线

以模型 II 为例, 取  $\alpha = \pi/4$ ,  $\tan\beta = 0.5$ ,  $M_{h^0} = 380\text{GeV}$ ,  $M_{H^0} = 80\text{GeV}$ . 图中的曲线 a 为十个图的总贡献, 它是 Higgs 粒子信号图的贡献 b 与背景图贡献 c 之总和. 作为对比, 在同一图上还画出了最小标准模型中的 Higgs 粒子信号图的贡献 d 和总的贡献 e.

在 2HDM 模型中取不同的  $\beta$  及  $\alpha$  值计算总截面, 结果列于表 1 中.

表 1 几组典型的参数选取下  $e^+e^- \rightarrow t\bar{t}Z^0$  总截面和信号图的截面

能量(GeV)	$M_{h^0}$	$M_{H^0}$	$\alpha$	$\tan\beta$	信号图截面 $\sigma(\text{fb})$	总截面 $\sigma(\text{fb})$
500	80	200	$\pi/4$	1	$3.12 \times 10^{-3}$	$4.48 \times 10^0$
500	80	380	$\pi/4$	1	$2.73 \times 10^{-1}$	$4.66 \times 10^0$
500	80	380	$\pi/4$	0.5	$6.15 \times 10^{-1}$	$4.92 \times 10^0$
500	80	380	$\pi/4$	10	$1.54 \times 10^{-1}$	$4.56 \times 10^0$

其中  $M_{h^0}$  是  $h^0$  的质量,  $M_{H^0}$  是  $H^0$  的质量(假定  $h^0$  比  $H^0$  轻).

可以看到当  $M_H < 2M_t$  时, Higgs 粒子的贡献比背景小 3 个量级. 而当  $M_H > 2M_t$  时, Higgs 粒子所贡献的信号仍然小于背景 1 个量级. 作为比较我们注意到, 在  $e^+e^- \rightarrow b\bar{b}Z^0$  反应中, 信号和背景的贡献是同量级的. 因而在 LEP II 及 NLC 上观测  $t\bar{t}Z^0$  末态的可能性是极小的.

## 5 结论与讨论

在 MSM 及 2HDM 理论框架下, 在树图水平上计算了  $e^+e^- \rightarrow b\bar{b}Z^0$  及  $t\bar{t}Z^0$  的产生总截面和微分截面, 探讨了 Higgs 粒子的可能观测效应.

寻找 Higgs 粒子的实验已进行了很久<sup>[7]</sup>, 但迄今为止它的存在还没有被直接观测到, 尽管在低能过程中有不少间接证据. 当前人们的注意力更多地转向了能量更高、背

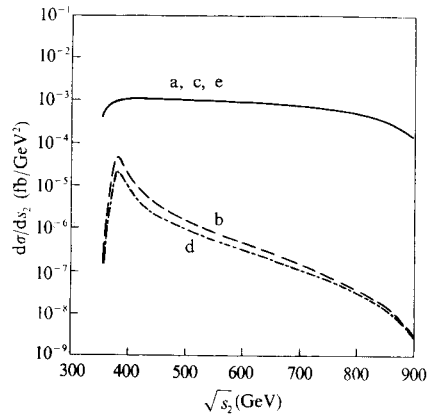


图 5

与图 4 中曲线的意义完全相同, 只是质心能量更高. 信号的贡献已经完全不可分辨了.

景又相对简单的  $e^+e^-$  对撞机 LEP II 及 NLC. 由于  $e^+e^- \rightarrow Z^0H^0$  是最有利于观测 Higgs 粒子的 Golden-Plate 反应, 当然引起人们的广泛的注意. Boos<sup>[3]</sup>等人研究了 MSM 框架下  $e^+e^- \rightarrow Z^0H^0 \rightarrow b\bar{b}Z^0$  的过程, 在 2HDM 理论框架下继续对这个过程进行了研究. 探讨了双 Higgs 二重态存在的情况下, 在  $e^+e^- \rightarrow b\bar{b}Z^0$  过程中出现的新的观测效应. 研究了  $t\bar{t}Z^0$  末态的观测前景, 为精确检验标准模型及扩展标准模型提供了新的可能性.

我们的结论肯定了 Boos 等人的结果, 即在 2HDM 中信号与背景的干涉仍然很小. 特别着重地分析了微分截面  $d\sigma/ds_2$  的数值结果, 讨论了有两个峰或单个峰的情况, 提出了可以用  $R$  值在一定程度上区分 2HDM 及 MSM 给出不同的结果. 在可接受的  $\beta$  及  $\alpha$  范围内, 我们预言  $R < 1$ . 关于  $t\bar{t}Z^0$  末态的过程, 发现虽然  $H^0t\bar{t}$  的耦合强度很大, 但由于对这个过程有比较大贡献的 Higgs 粒子的质量至少大于  $2M_t$ , 这使得它的宽度急剧增加, 信号完全淹没在本底中, 因而变得不可观测.

我们也注意到在  $e^+e^- \rightarrow H^0Z^0$  和  $H^0 \rightarrow b\bar{b}$  中电弱和 QCD 辐射修正可能会起重要作用, 因而不能忽略. Boos 和我们目前的工作都是在树图水平上的, 当考虑了圈图修正后可能有较大的变化, 这是我们下一个工作的内容<sup>[8]</sup>.

感谢马文淦教授的帮助和讨论.

## 参 考 文 献

- [1] CDF Collaboration, *Phys. Rev. Lett.*, **74**(1995)2626; D0 Collaboration, *Phys. Rev. Lett.*, **74**(1995)2632.
- [2] J. Gunion, H. Haber, G. Kane *et al.*, *The Higgs Hunter's Guide*, Addison-Wesley Pub. Co. (1990) New York.
- [3] E. Boos, M. Dubinin, *Phys. Lett.*, **B308**(1993)147.
- [4] A. Stange, W. Brock, *Phys. Rev.*, **D48**(1993)2054; C. Geng, P. Turcotte, W. Hou, *Phys. Lett.*, **B339**(1994)317.
- [5] V. Barger, J. Hewett, R. Phillips, *Phys. Rev.*, **D41**(1990)3421; J. Hewett, SLAC PUB., 6521(1994).
- [6] A. Grant, EFI-94-24.
- [7] A. Sopeza, CERN-PPE /94-73 and references in the paper.
- [8] C.-H. Chang, X.-Q. Li, J.-X. Wang *et al.*, *Phys. Lett.*, **B313**(1993)389.

## On the Observation Effects of Higgs Particle in $e^+e^- \rightarrow b\bar{b}Z^0$ and $t\bar{t}Z^0$ at LEP II and NLC

Ding Yibing<sup>1</sup> Li Xueqian<sup>2</sup> Wang Jianxiong<sup>3</sup> Zhang Zhaoxi<sup>4</sup> Xie Yuehong<sup>2</sup>

1 (*Department of Physics, Graduate School, The Chinese Academy of Sciences, Beijing 100039*)

2 (*Department of Physics, Nankai University, Tianjin 300071*)

3 (*Institute of High Energy Physics, The Chinese Academy of Sciences, Beijing 100039*)

4 (*Institute of Theoretical Physics, The Chinese Academy of Sciences, Beijing 100080*)

Received 29 February 1996

### Abstract

According to the Minimal Standard Model and the Extended Standard Model with two Higgs doublets, we calculated the total cross sections and differential cross sections for the  $e^+e^- \rightarrow b\bar{b}Z^0$  and  $t\bar{t}Z^0$  at the LEP II and NLC energies in order to study the possible observational effects of the Higgs particle. We found that the observation for the  $e^+e^- \rightarrow b\bar{b}Z^0$  can give the information on the Higgs particle as long as the mass of the Higgs particle  $M_H \leq 140\text{GeV}$ . However, for the  $e^+e^- \rightarrow t\bar{t}Z^0$  the effect from Higgs particle will be completely suppressed by the electroweak background and cannot be observed, no matter whether the Higgs particle is heavy or light.

**Key words** minimal standard model, extended standard model, two Higgs doublet mass of the Higgs particle, electroweak process, total cross section and differential cross section.